

## 6.1 金属とセラミックスの複合化に関する研究

Study on Metal-Ceramics Composite

### 炭化けい素ウィスカ強化Al合金複合材料の作製と機械的性質

Fabrication and Mechanical Properties of SiC Whisker Reinforced Aluminium Alloy Composite

柴田周治 村川悟 藤川貴朗 橋尾勝也

Shuji Shibata Satoru Murakawa Takao Fujikawa Katsuya Hio

## 1 はじめに

高圧鋳造により作製される纖維強化複合材料には、(1) バルク状の中間素材として一旦作製し、さらに熱間押出しなどの塑性加工を経て強化纖維を一方向に配列し、棒状、板状に成形されるものと、(2) 製品形状にほぼ等しい金型内に強化纖維を配置し、マトリックス合金と複合化することにより、特性の向上を図るものがある。後者は種々の製品形状の複合材料が得られる上に、ニアネットシェイプ化、部分複合化が可能である。また、押出しなどの過程で強化纖維の損傷を伴わないため、その特性を十分に発揮することが期待できる。一般に、マトリックスAl合金としては、前者の押出しなどの塑性加工を伴うものは展伸用Al合金が、後者では鋳造用Al合金が主に採用されている。

本研究では、マトリックス合金としてAC8Aを、強化纖維として炭化けい素ウイスカを使用することとし、高圧鋳造により複合材料を作製する時、製造上重要である加圧力を変化させて複合化の状態および機械的性質を調べた。さらにウィスカの体積含有率(以下、V<sub>f</sub>とする)、また注湯温度を変化させて引張特性に及ぼす影響についても検討した。

## 2 実験方法

### 2.1 複合材料の作製

本実験に用いた原材料は、AC8A合金および炭化けい素(SiC)ウィスカで表1、表2にその化学組成および特性を示す。このウィスカを溶媒(蒸留水)に分散した後、Φ30の型枠の中に入れ、吸引ろ過と加圧によりV<sub>f</sub>13%、20%、30%に成形されたものをプリフォームとして使用した。

表1 アルミニウム合金(AC8A)の化学組成

(単位 wt %)

成 分	S i	N i	C u	M g	F e	A l
%	11.8	2.28	1.03	1.24	0.19	B a l

表2 ウィスカの特性

ウイスカ	炭化けい素
直径 $\mu\text{m}$	0.5
長さ $\mu\text{m}$	35
比重	3.2
ヤング率 MPa	490,000
引張強さ MPa	14,000
熱膨張係数 $10^{-6}/\text{K}$	5.0
軟化点 K	2973
S i O <sub>2</sub> 量 %	1.5

東海カーボン(社)データより

AC8Aの溶解では、溶湯中のガスを除去する目的で脱ガスを、また、組織を微細にするために改良処理を表3の条件で行った。ガス量の確認には、減圧凝固試験装置(圧力  $1.3 \times 10^4 \text{ Pa}$ )を用いた。

表3 溶湯処理条件

溶解温度	1003K
溶湯処理	脱ガス 0.3% (主成分 六塩化エタン) 改良処理 0.5% (主成分フッ化ソーダ (NaF)) 脱ガス、改良処理を順次行なった後、炉中 で600s保持、鎮静化

複合化は、高圧鋳造装置により、表4の条件で行った。なお、加圧力は、加えた荷重をプランジャーの直径(Φ70)で除いた値で表した。

表4 複合化条件

炭化けい素ウィスカ	形状	$\phi 30 \times 100 \text{ mm}$
プリフォーム	V f	13% 20% 30%
	予熱温度	823K
	保持時間	3.6ks
AC8A	溶解温度	1003K
	注湯温度	約973K
金型	予熱温度	593K
高圧鋳造装置仕様	加圧荷重	500kN
	横型締荷重	1000kN
複合化	加圧力	40MPa 70MPa 100MPa
	加圧力保持時間	300s
	加圧速度	10mm/s

また、T6処理を行ううえで必要となる時効時間を決定するため、あらかじめ硬さ測定による時効硬化曲線(図1)を作製し、時効時間をAC8Aは443K×32.4ks、複合材料は443K×25.2ksとした。

## 2.2 各種評価試験

作製した鋳造品を中心から縦方向に切断して、複合化の状態を観察により確認した。その後、図2に示す位置から、引張、組織、熱膨張、摩耗各試験片を切り出し、以下の各種評価試験を行った。なお、ウィスカは、プリフォーム成形時に加圧方向に対して垂直に、若干配向することが予測されるので、組織観察と熱膨張測定においては試験片の方向をウィスカの配向に平行な方向をP、垂直な方向をT方向と区分して試験を行った。

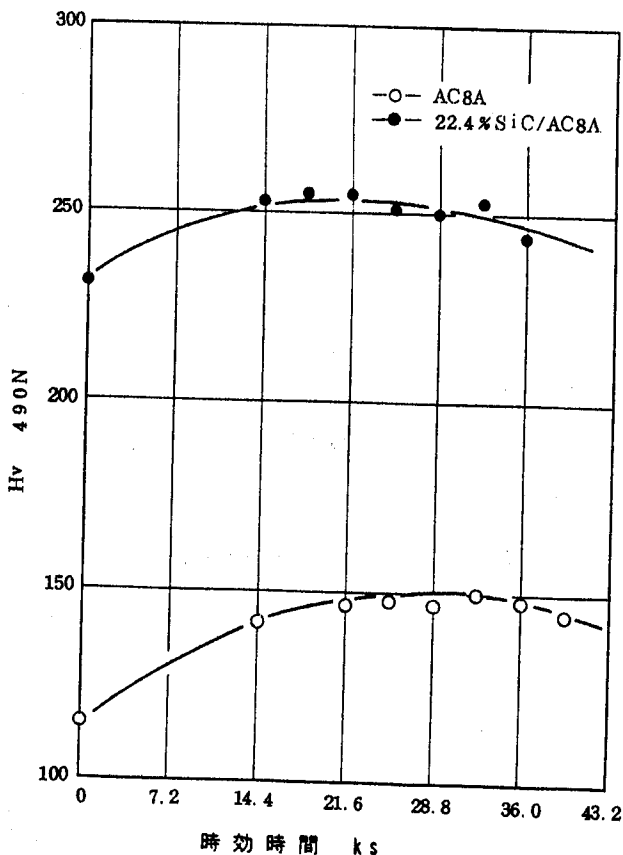


図1 時効硬化曲線 (時効温度443K)

### (1) 組織観察

各試験片から、図2の位置で組織試験用の試験片を切り出し、P、T各方向について光学顕微鏡とSEMで組織を観察した。

### (2) 引張試験

引張試験は、直径8 mm、平行部長さ12 mmの丸棒試験片で、引張速度0.083 mm/sで行った。なお標点間距離は10 mmとした。また、ヤング率の測定は静ひずみ法(ゲージ長さ2 mm、4ゲージ法)で行った。

また、注湯温度を1073 K、プリフォーム予熱温度823 Kに上げたときの引張試験を行い、注湯温度を973 K、プリフォーム予熱温度873 Kとの比較を行った。

さらに、 $\phi 30 \times 50$  mmのプリフォームを用いて複合化した鋳造品を作製し、AC8Aと炭化けい素ウィスカ／AC8A複合材の界面の強度を、図3に示す引張試験片に加工して求めた。なお、この場合の時効時間は25.2 ksと

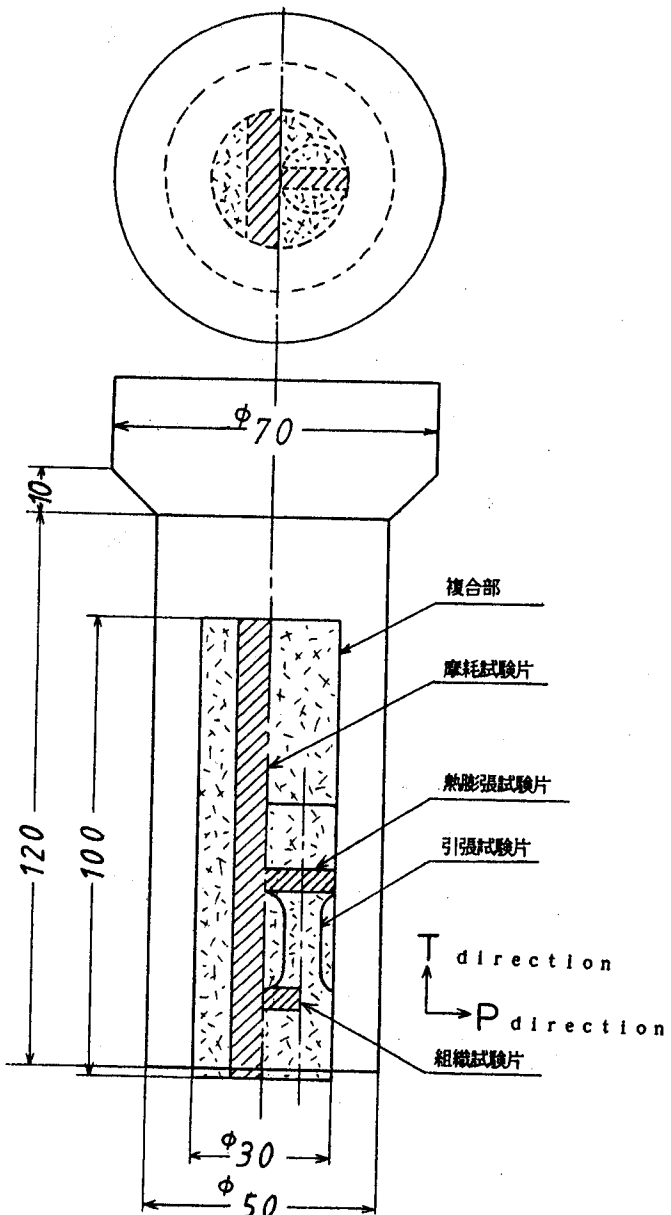


図2 試験片採取位置

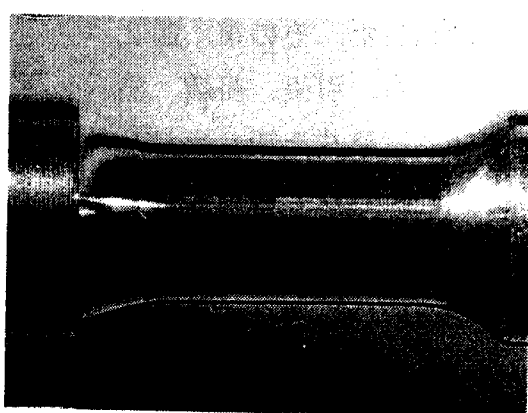


図3 引張試験片(界面強度測定用)

した。

### (3) 硬さ試験

常温および高温での硬さをビッカース硬さ計により加圧荷重9.8N、保持時間15sの条件で測定した。高温硬さ試験は、 $5 \times 10 \times 5$ mmの試験片を $3 \times 10^{-3}$ Paの真空中で加熱し、373、423、473、523、573、623、673Kの各温度で600s保持した後測定した。

### (4) 摩耗試験

摩耗試験は大越式摩耗試験機により行った。試験片は $100 \times 25 \times 8$ mmの平板試験片を作製し、研磨紙#800まで仕上げた。相手材はS45C焼入れ材(Hv715)、試験条件は最終荷重21N、摩擦距離200m一定として、摩擦速度を0.61~2.37m/sと変化させた。

### (5) 热膨張測定

热膨張は、P方向とT方向について $\phi 5 \times 15$ mmの試験片を作製し、大気中で293Kから673Kまで $0.017\text{K}/\text{s}$ の昇温速度で加熱して293Kからの平均热膨張係数を求めた。

## 3 実験結果および考察

### 3.1 複合化の状態

複合化後のVfは、プリフォームのVfに複合化により圧縮された分を補正した値とした。

加圧およびVfを変化させた時の複合部の断面を観察した結果を図4に示す。Vf14.5%では、加圧力70MPa以上で、また、Vf22.4%、33.6%では、加圧力100MPaで複合化が可能であった。これ以外の条件では、プリフォーム上部から中央部にかけて未複合部を生じた。

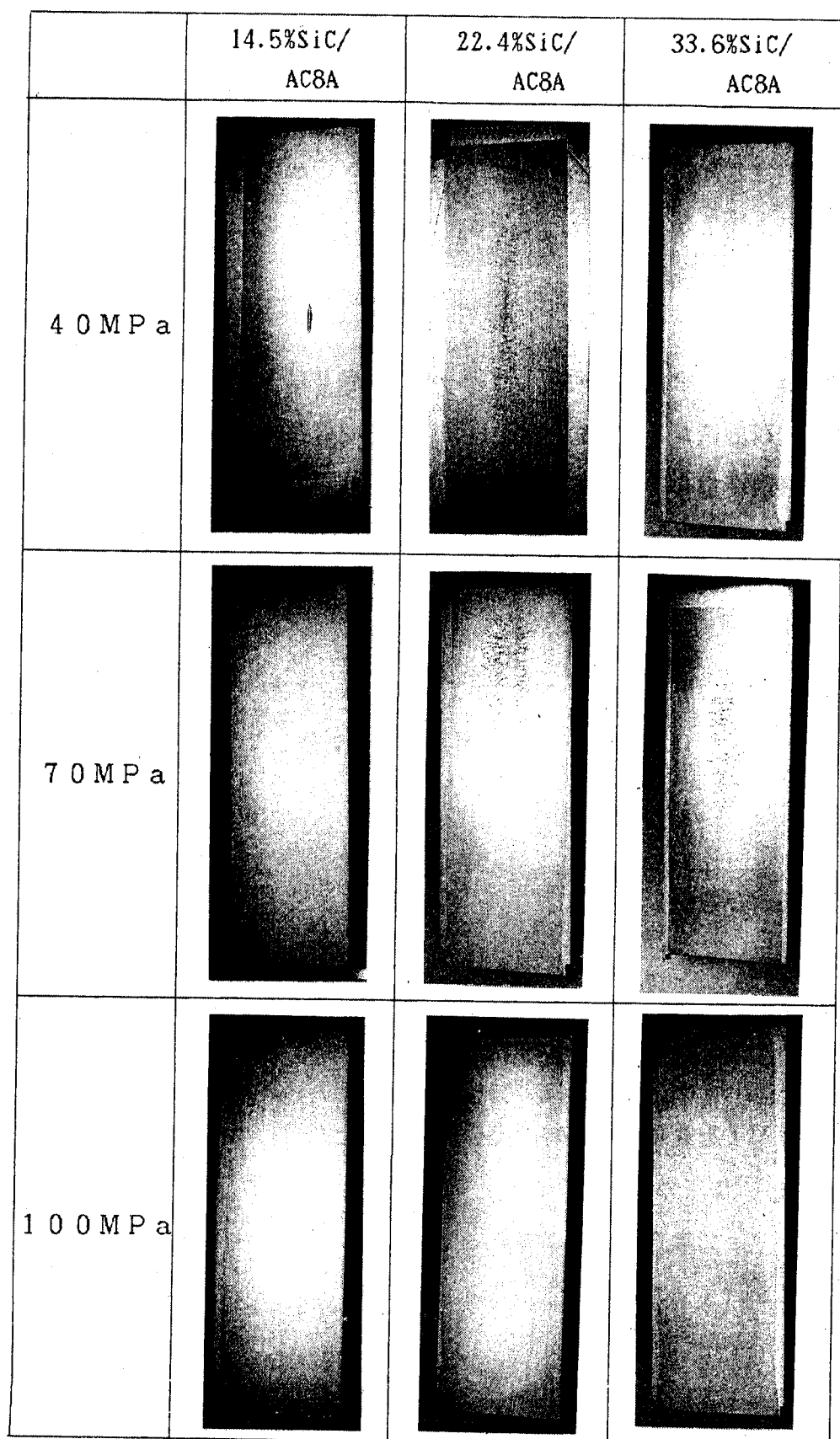


図4 複合材料断面のマクロ組織

この未複合部のSEM像を図

5に示す。その形状は凝固収縮により生じた巣とは異なる。

また、プリフォーム中への溶湯の含浸を容易にするために、加圧力70 MPa、 $V_f$  22.4%のプリフォームで注湯温度を1073K、プリフォーム予熱温度を873Kに上げて複合化を行ったが未複合部をなくすることはできなかった。このことから溶湯温度の低下によってプリフォーム中央部まで含浸が行なわれなかつたとも考えにくい。

以上から、未複合部の生じる原因として、複合化の際、溶湯はプリフォーム上部および側面から含浸することから、プリフォーム上部から中央にかけてはプリフォーム内に含まれるガスと溶湯との置換がスムースに行なわれなかつたことが考えられる。 $V_f$  が低いほど溶湯が含浸しやすく、加圧力を増々(100 MPa)とプリフォーム内のガス圧に打ち勝って溶湯が含浸し複合化されたものと思われる。

のことから、プリフォーム内のガスを減圧することによって取り除き、溶湯との置換を容易にすることが有効な手段と考えられるため、今後の検討課題としたい。

### 3.2 組織観察結果

図6に $V_f$ を変化させたときの複合材料の光学顕微鏡組織を示す。

組織は、各 $V_f$ とも比較的均一で、ウィスカの粗密は見られなかつた。ウィスカはP方向についてやや配向しているように見られる。

図7に加圧力の異なる複合材料の組織を示す。加圧力の違いによって組織は変化していない。

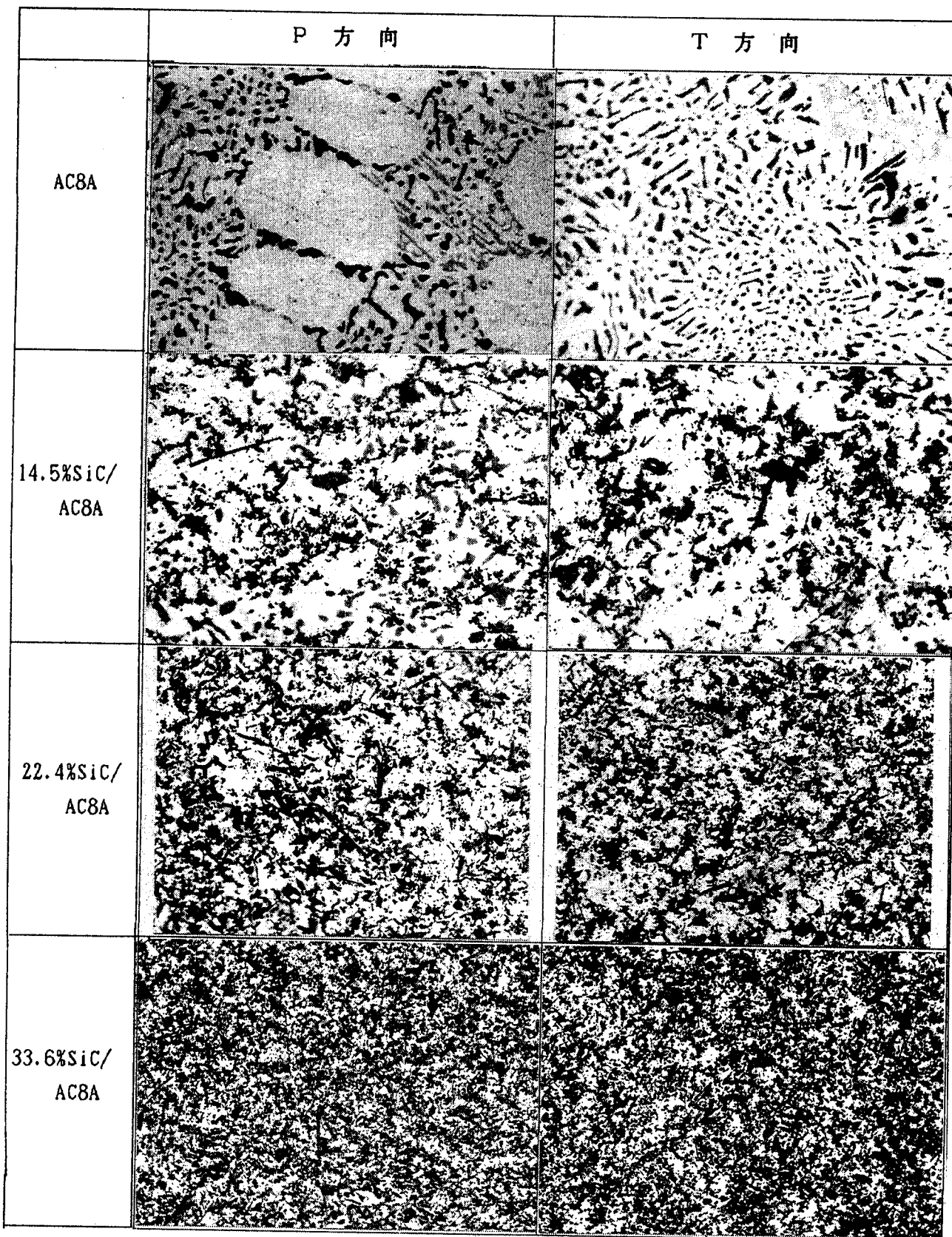


図6  $V_f$  の異なる複合材料の光学顕微鏡組織

20  $\mu m$

加圧力 70 MPa (腐食なし)

熱処理 T 6

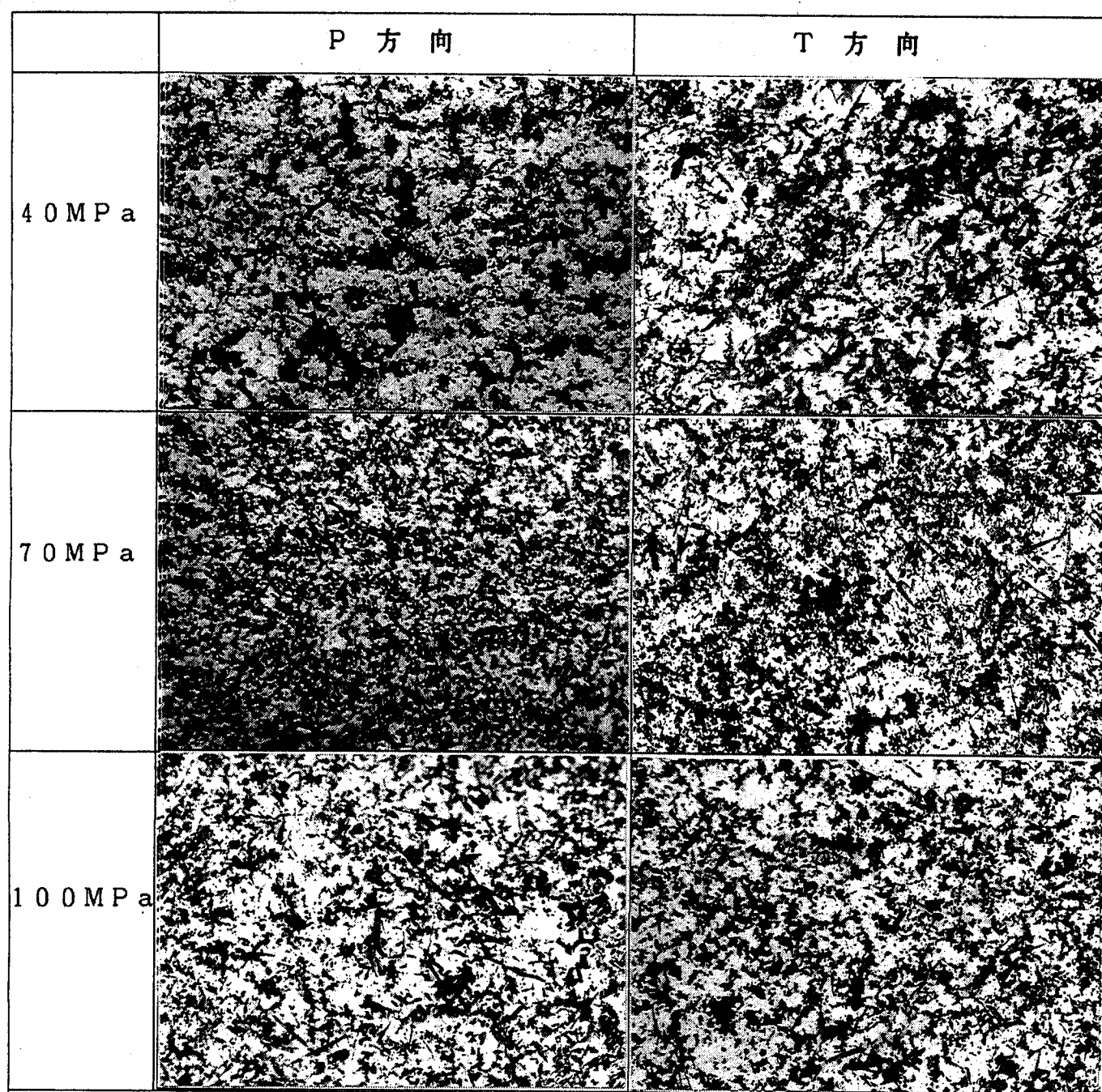


図7 加圧力の異なる複合材料の光学顕微鏡組織

Vf 22.4% (腐食なし)

熱処理 T6

20  $\mu$ m

### 3.3 引張特性

図8にAC8Aおよび複合材料(加圧力100 MPa、T6)の機械的性質を示す。

炭化けい素ウィスカのV<sub>f</sub>が増すとともに引張強さ、硬さは上昇し、ヤング率も著しく改善され、繊維強化の効果が現れている。一方伸びは減少した。

図9に引張強さに及ぼす加圧力、熱処理の影響を示す。

いずれの場合もV<sub>f</sub>が増加するに伴って引張強さはほぼ直線的に上昇した。また、加圧力が100 MPaの方が70 MPaよりも、引張強さはわずかに高く、その傾向はV<sub>f</sub>が増加するにつれ大きくなり、加圧力100 MPa、V<sub>f</sub>33.6%の時、引張強さ516 MPaであった。

また、熱処理(T6)により、AC8Aおよび複合材料の引張強さは上昇したが、これはマトリックスのAC8Aが強化されたためで、炭化けい素ウィスカ強化による強度上昇率は熱処理の有無によらず、

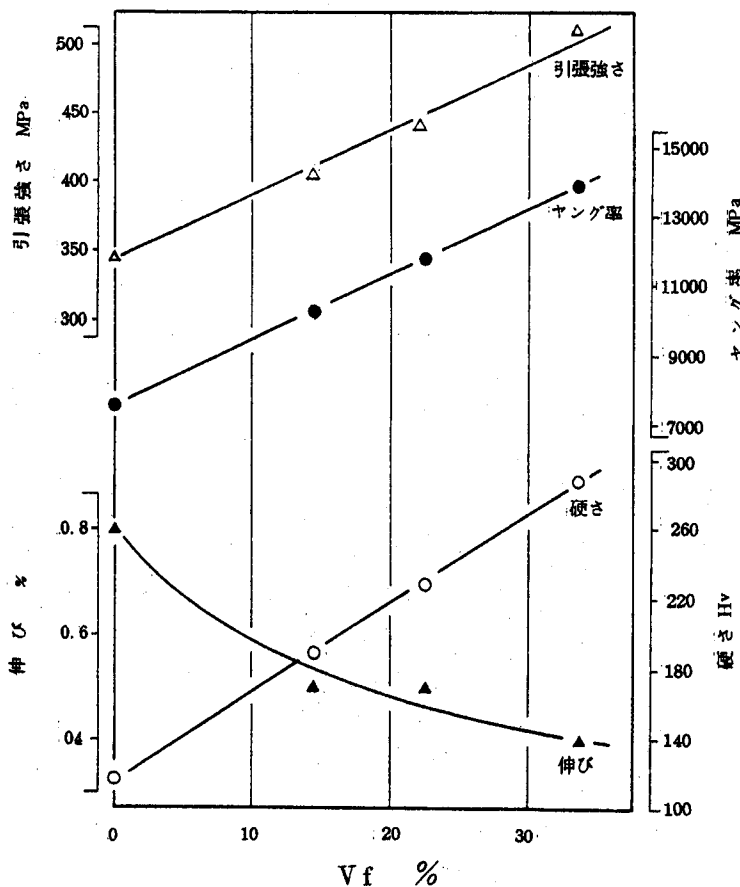


図8 複合材料の機械的性質  
加圧力 100 MPa  
熱処理 T6

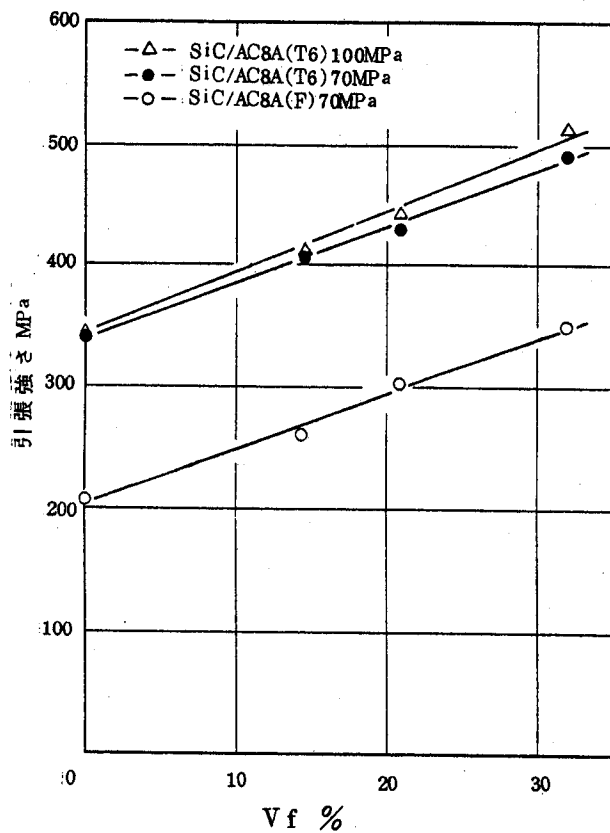


図9 引張強さに及ぼす加圧力、  
熱処理の影響  
- 30 -  
注湯温度 973 K

$V_f$  に比例してほぼ同じ値であった。

図 10 に引張強さに及ぼす注湯温度の影響を示す。注湯温度による引張強さはほぼ同じ値であり、注湯温度による影響はこの条件では見られなかった。

図 11 に、複合材料と複合化していない AC8A の引張試験後の破面の SEM 像を示す。

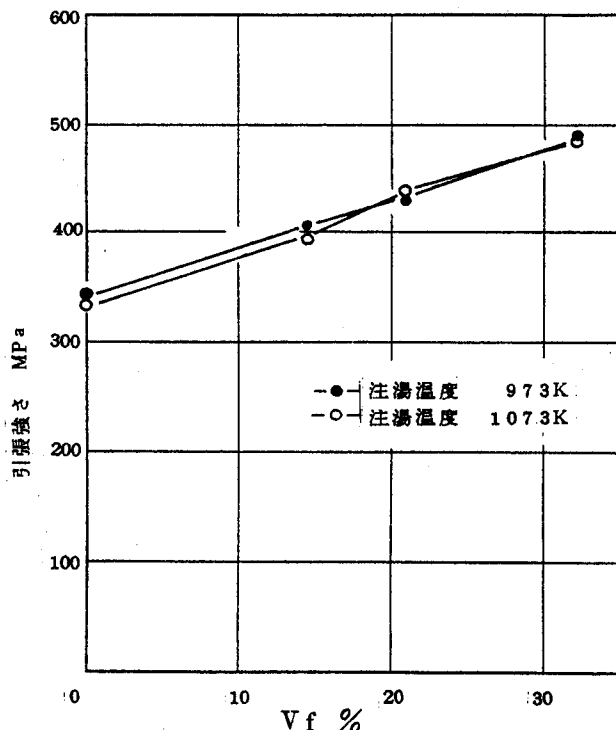


図 10 引張強さに及ぼす注湯温度の影響  
加圧力 70 MPa 热処理 T6

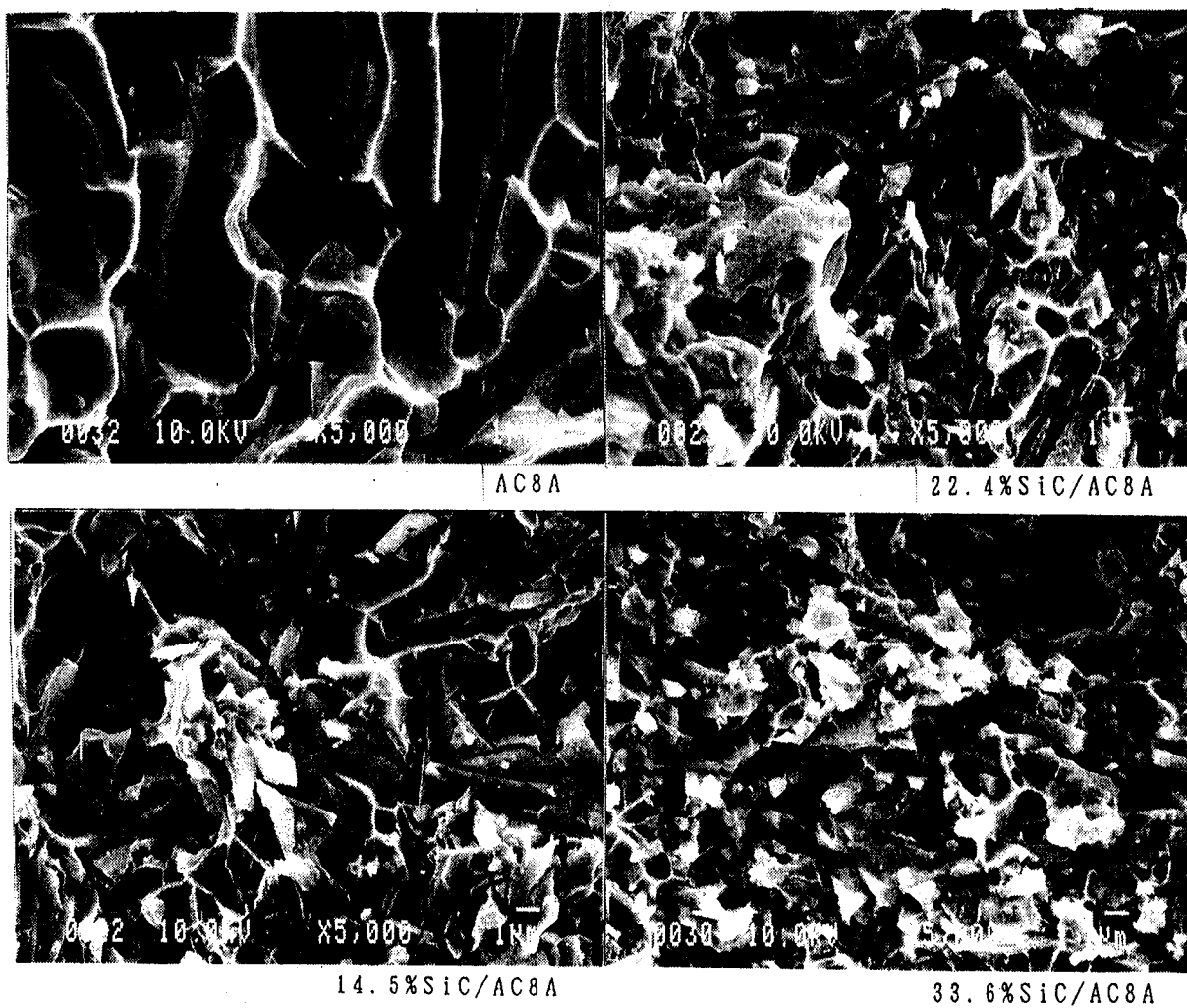


図 11  $V_f$  の異なる複合材の破面の SEM 像  
加圧力 100 MPa  
热処理 T6

複合化していないAC8Aおよび複合材料のマトリックスのAC8Aとも、AC8Aの破面は晶出組織の大きさによって、その破面の粗さが決定し、ウィスカのVfが増すとともに細かくなる。

また、ウィスカのプルアウトは各試料とも見られたが、その数は少ない。

表5にAC8Aと複合材料の界面の強度を示す。

破面は界面でおこり図12に示すように複合前のプリフォームと同じ破面を呈している。

界面の引張強さは234 MPaでAC8Aの約70%の強度であり、部分複合化するときにはプリフォームの形状などを工夫する必要がある。

表5 界面の強度

MPa

	引張強さ
界面	234
複合部	440
AC8A	336

加圧力 70 MPa

Vf 22.4%

熱処理 T6

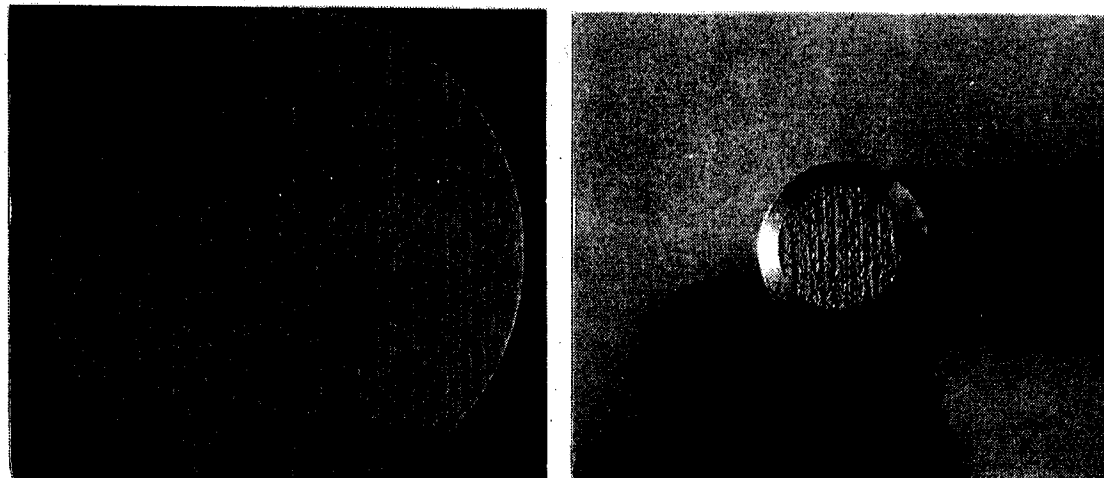


図12 複合前のウィスカプリフォーム(左)と破面後の界面(右)の写真

### 3.4 硬さ特性

常温における硬さは表4に示したとおりである。硬さは、Vfの増加に伴って上昇し、Vf 33.6%では、Hv 287であった。

図13に高温硬さ特性を示す。

523KにおけるVf 33.6%の複合材料の硬さは、AC8Aの常温での硬さにはほぼ等しい。ただ、複合材においてもマトリックス金属の硬さの減少とともに硬さは低下し、特に473K付近から急激に低下した。なお、この傾向は高温引張試験結果<sup>(1)</sup>と同じであった。

### 3.5 摩耗特性

図14に大越式迅速摩耗試験での摩耗速度と比摩耗量の関係を示す。

複合材料の比摩耗量は高速側ではAC8Aより少ないが、低速側ではAC8Aより多くなっており、AC8Aにウィスカを複合化しても耐摩耗性は必ずしも向上しなかった。これは母材から遊離したウィスカが、複合材料を傷つけるためと考えられる。また、低速側から高速側になるにつれて複合材料の比摩耗量は少なくなる傾向にある。これは、耐熱性のあるウィスカにより高速側での融着摩擦が抑制されたためと考えられる。

### 3.6 热膨張特性

表6に複合材料の平均热膨張係数を示す。

複合材料の平均热膨張係数はAC8Aに比べて大幅に低下し、 $V_f$ が高いほど低い値を示した。

ウィスカの热膨張係数が $5.0 \times 10^6 / K$ (表2)とAC8Aよりも热膨張係数の小さい強化材を複合化することで、热膨張はかなり抑えられる。

また、P方向がT方向よりも低い热膨張を示す。これは光学顕微鏡組織からわかるように、P方向にウィスカが幾分配向しており、热膨張係数の大きい

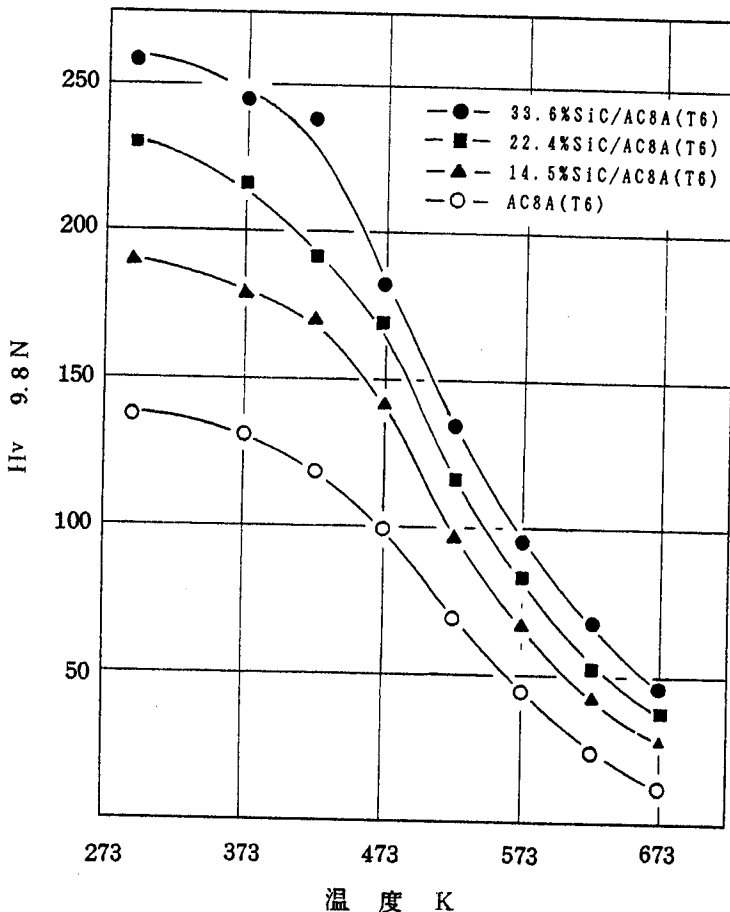


図13 高温硬さ特性  
加圧力 100 MPa

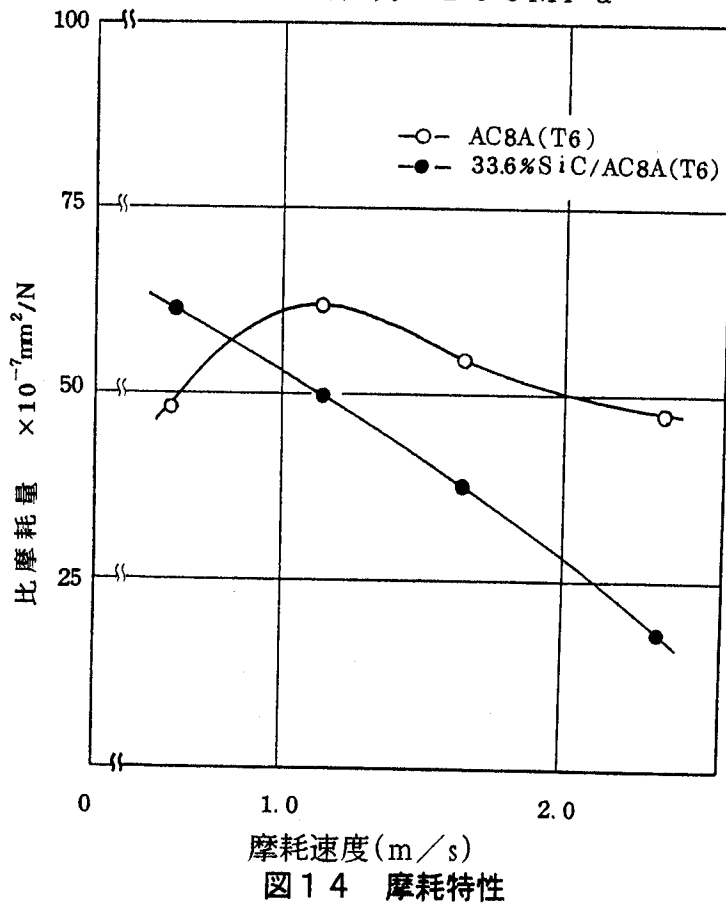


図14 摩耗特性

表6 平均熱膨張係数( $\times 10^{-6}/\text{K}$ )

加圧力 100 MPa

熱処理 T6

		293~373 K	293~473 K	293~573 K	293~673 K
A C 8 A		19. 0	20. 0	21. 0	22. 0
14.5% SiC / AC8A	P	12. 1	15. 3	14. 5	15. 0
	T	12. 8	13. 8	14. 1	15. 8
22.4% SiC / AC8A	P	10. 8	12. 5	12. 8	13. 5
	T	11. 2	13. 0	12. 9	15. 3
33.6% SiC / AC8A	P	7. 8	9. 7	9. 3	10. 3
	T	9. 4	11. 2	11. 8	13. 5

AC8Aの膨脹をウィスカが拘束したためと思われる。逆に、T方向ではウィスカの拘束が少ないのでウィスカの配向と垂直方向が熱膨張係数が高い結果となった。この傾向はVfが高くなるにしたがって顕著である。

ウィスカを複合したAl合金の押出し材において、押出し方向にウィスカが配向され、その方向の熱膨張係数が押出し垂直方向よりも低くなるという報告がある<sup>(2)</sup>。本実験では、プリフォームのVfは作製時に加圧することによって調整されているのでVfが高くなるほどP方向、すなわち加圧に対して垂直方向にウィスカの配向がより高くなつたものと考えられる。

#### 4 まとめ

AC8A合金に炭化けい素ウィスカを複合するための条件および作製した複合材料の機械的性質について検討した結果、以下のことが明らかになった。

- (1) 複合化は、加圧力が大きく(100MPa)、Vfが低い(14.5%)ほど容易であり、加圧力が低く、Vfが高い場合は、プリフォーム中のガスが溶湯の含浸を妨げて未複合部を生じた。
- (2) ウィスカのVfが増すとともに、引張強さ、硬さ、ヤング率は直線的に上昇し、加圧力100 MPa、Vf 33.6%の時、引張強さは516 MPaであった。
- (3) ウィスカ強化による強度上昇率は、熱処理の有無(F材とT6材)によらずVfに比例してほぼ同じ値であった。
- (4) 高温における硬さは複合材においてもマトリックス金属の硬さの低下とともに硬さは低下し、特に473 K付近からの低下が著しかった。

(5) ウィスカはプリフォーム成形時に加圧方向に対して垂直に配向し、複合材料の組織および熱膨張測定によりこれが確認された。

### 参考文献

- (1) 松原弘美 他3名：軽金属、39(1989)5, 338
- (2) 藤田米章 : 鉄と鋼、75(1989)9, 105